

建設省土木研究所

正員 山村和也

1. まえがき 利根川の洪水を調節するため渡良瀬遊水池に越流堤の築造工事が進められていれば、地盤が軟弱なため比較的伝わみ性の大きい堤体構造が考えられ、現在の所、浚渫土砂で作られた盛土の表面を不透水性のアスファルトスラブで被覆するいわゆる三面張りの堤防が計画されている。表面を完全に覆えば堤体内に浸透流は生じないはずであるが堤体土を外部と完全に遮断することはむづかしく、河道水位あるいは貯水池水位の変動によって法覆裏面にかなりの揚圧力の発生するおそれがある。当然法覆はこの揚圧力を打勝つような厚さに設計されなければならないわけで、揚圧力の大きさならびに堤体構造に関する検討を行なつた。

## 2. 法覆を施工した堤防の浸透流

堤体表面が不透水性であっても、堤体が乗っているサンドマットや地盤内に介在する砂層などからかなりの浸透水が堤体内へ流入すると考えられるので、図-1に示すような単純化した条件で揚圧力の大きさを検討する。したがつて浸透流はABおよびCDからのみ堤体内へ流入する。計画している越流堤は法面勾配が緩やかなので、堤体内の任意の垂直断面の浸透流のポテンシャルは等しいと仮定し、さらには法覆によって堤体内に閉じこめられる空気はないと考える。さて河道および貯水池水位の昇降に応じて堤体内の自由水面も変動するが、図-1に示すように堤体内の水面が法覆の高さに達するとその断面ではもはや自由水面はなくなる。図のEの位置は移動するが、AEおよびECの2つの領域に分けて浸透流を考えると、AE区间では  $h = -\frac{q}{\gamma_w} h(a + \tan \alpha x) + C$  ……(1)

またEC区间では  $\frac{\partial h}{\partial t} = \frac{q}{2\lambda} \frac{\partial^2 h^2}{\partial x^2}$  ……(2) で浸透流の水頭を表わすことができる。

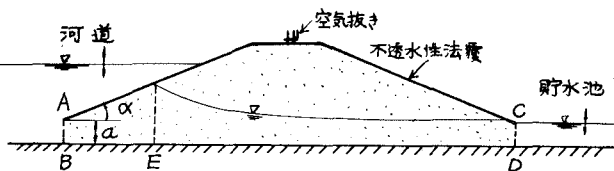


図-1 堤体内的浸透

## 3. 法覆裏面に発生する揚圧力に対する必要な法覆の厚さ

法覆裏面に揚圧力が作用すると法覆の有効接地圧が減少し、法覆と堤体土肉の摩擦抵抗が減少する。そうして法覆の裏面の重力の斜面方向の分力は次第に法覆の断面応力に変換していく。法覆の微少部分の力の釣合を考え、法覆の表面に働く外水の水頭と、裏面に働く浸透流の水頭との差Hと法覆の厚さbとの関係を計算すると、まず法覆の微少部分が斜面上を滑り出す条件は  $H > b \frac{\gamma_a}{\gamma_w} \cos \alpha \left(1 - \frac{\tan \alpha}{\tan \phi}\right)$  ……(3)

また浮き上る条件は  $H > \frac{\gamma_a}{\gamma_w} b \cos \alpha$  ……(4)

となる。普通(4)式の条件が成り立たないよう法覆の厚さを決定しなければならない。

## 4. 浸透流の計算結果

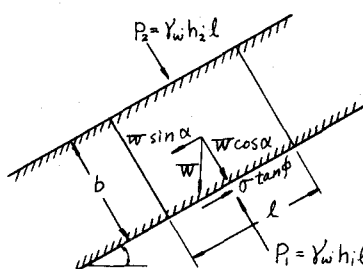


図-2 法覆の微少部分の力の釣合

計算は先に示した式を用い、数値解法を適用する。外水位の変動が起る以前の堤体内の自由水面の位置すなわち初期値はBDを結ぶ面と仮定する。したがって初めは自由水面は堤体全幅にわたって存在し、AE区间は存在しないので(2)式で計算を行なう。数値計算はX-Y平面を考え式中の微係数を有限階差に置き換えた階差方程式を用いる。外水位の変動に応じて堤体内の自由水面が上昇すると、AE区间が現われるのでこの部分の計算には(1)式を適用して逐次計算を進める。計算には計画洪水のときの水位曲線を適用し、堤体各部の浸透流の水頭変化を求めた。計算結果の一例を図-3に示したがこれは法覆の表面と裏面における水頭の差が洪水期間中にどのように変化するかを示したもので、洪水末期に揚圧の生じることがわかる。なお堤体材料の有効剛性系数入は実験装置を製作し、測定した結果を用いて砂では大体0.2を示した。したがって図に示す  $\frac{k}{\lambda} = 3.6 \text{ m/hr}$  は  $k = 2 \times 10^{-2} \text{ cm sec}$  に対応するといふことである。また  $\frac{k}{\lambda}$  は3の値を与えて計算したときの法覆の各部に働く揚圧力の最大値を水頭で示したのが図-4である。

#### 5. 砂模型による浸透実験

計算結果の妥当性を調べる

ためと、越流堤の天端の空気板きの有無が揚圧力にどのような影響を及ぼすかを検討するためには大型水槽中に実際の  $\frac{1}{5}$  の模型を作成して透水実験を行なった。実験に用いた材料は現地のもので透水係数は  $2 \times 10^{-2} \text{ cm sec}$  より多少小さめであったが、法覆裏面に発生する揚圧力は先に示した  $\frac{k}{\lambda} = 3.6 \text{ m hr}$  を代入した計算結果とはほぼ類似した値を示した。また天端に空気板を設けた場合と設

けない場合の比較を図-5に示したが、空気板きがないと法覆の各部にかなり大きな揚圧力が働くことがわかり、これに反し空気を抜くと揚圧力の発生は法覆付近にのみ限られることが知られる。

6.まとめ 越流堤築造に使用する浸透土砂の透水係数は実測によると  $10^{-3} \sim 10^{-2} \text{ cm sec}$  程度であるから、計算結果などに実験結果より堤体法尾付近に発生する揚圧力は水頭に直して約  $80 \text{ cm}$  程度になると予想される。したがって(4)式から必要なアスファルト・スラブの厚さは  $40 \text{ cm}$  以上となり、また堤体の安定性を保つためには空気板の設置は必要である。さらに堤体内部へ水が浸入するのを防止するため堤体法尾の地盤に止水壁を設けること、ならびに堤体内へ浸入した水を速やかに排水するためのドレーンを法尾付近に設置することは揚圧力を防ぐため有効な手段と考えられる。

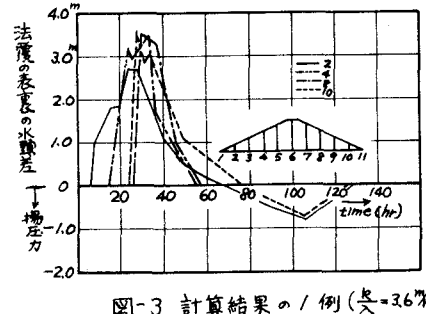


図-3 計算結果の一例 ( $\frac{k}{\lambda} = 3.6 \text{ m hr}$ )

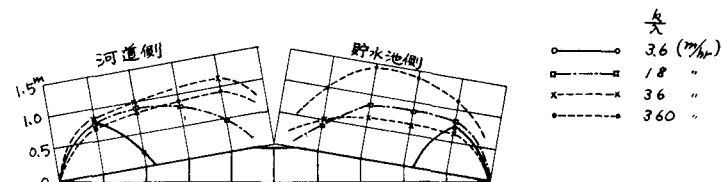


図-4 法覆に働く  $(h_1 - h_2)$  の最大値の分布

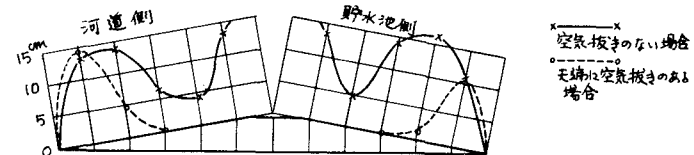


図-5 法覆に働く揚圧力の分布（模型実験の結果）